

Exemplos de aplicações de

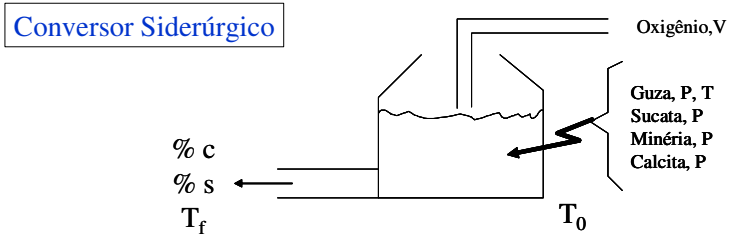
Redes Neurais como Aproximadores

(saídas contínuas)

- **Modelagem de um Conversor Siderúrgico da CSN**
- **Modelagem de 3 plantas de destilarias da Petrobras**
- **Previsão de atenuação em enlace de telefonia celular e em enlace de comunicação terra-satelite**
- **Previsão de atraso no pagamento por clientes (pessoas e instituições)**
- **Previsão do PIB brasileiro**
- **Previsão de volatilidade de opções Telebrás**
- **Previsão de consumo elétrico domiciliar**
- **Previsão de demanda de pico de energia**
- **Previsão de vazões hidrográficas**

Siderurgia:

Modelagem e otimização da operação dos conversores da CSN



Entradas	Saídas
Peso gusa	Temperatura
Temperatura gusa	%carbono
Peso sucata	Houve projeção ?
Peso minério	
Peso calcita	
Tempo sopro	
Posição sopro	
Temperatura última corrida	
Tempo última corrida	

Petroquímica:

Destilação ASTM de querozene da U 2100 (REPAR)

Entradas	Saída
Temperatura de retirada	
Vazão de retirada	PIE (ponto inicial de ebulação) do querozene
Relação molar do resíduo	

Destilação ASTM do diesel na U 200 (RPLAN)

8 entradas >>>> 1 saída

Ponto de entupimento do diesel na U 50 (REFAP)

15 entradas >>>>> 1 saída

Lubricidade do óleo diesel

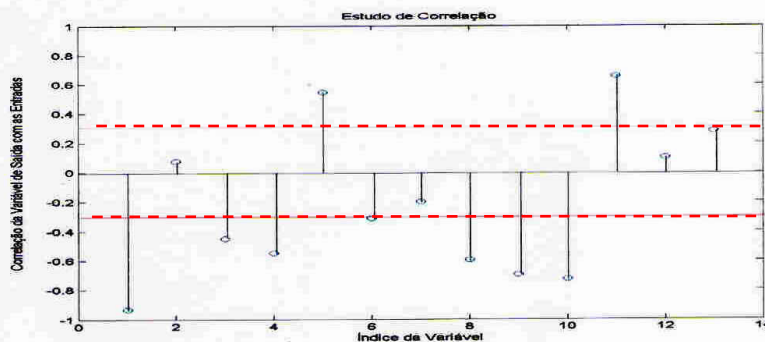
Possíveis Variáveis de Entrada do Banco de Dados de Lubrificade

Índice da Variável	Variáveis
1	condutividade em pS/m.
2	índice de cetano.
3	densidade a 15°C.
4	viscosidade cinemática a 40°C em cSt .
5	conteúdo de enxofre em ppm .
6	Ponto inicial da destilação em °C
7	Temperatura a 10% vaporizado da destilação em °C
8	Temperatura a 50% vaporizado da destilação em °C
9	Temperatura a 90% vaporizado da destilação em °C
10	Ponto final da destilação em °C
11	ponto de fulgor em °C
12	ponto de névoa em °C
13	ponto de fluidez em °C

Conjunto de treinamento: 49 pares

de teste: 27 pares

Correlação entradas-saída:



Resultados do treinamento x variáveis de entrada

Entradas	Neurônios camada intermediária	Erro treinamento	Erro teste
Todas	8	2,4	3,2
1,3,4,5,6,8,9,10,11	6	2,7	3,6

Previsão de atraso de pagamento

Previsão (saída): dias de atraso no pagamento (0 a 120)

Dados disponíveis:

901 clientes, 8159 casos
Fevereiro a Junho de 2000.

- Nº do título
- Nº do cliente
- UF do cliente
- Limite de crédito do cliente
- Data de emissão do título
- Data de vencimento do título
- Valor do título
- Data do pagamento
- Dias de atraso
- Nº Vendedor

Entradas selecionadas

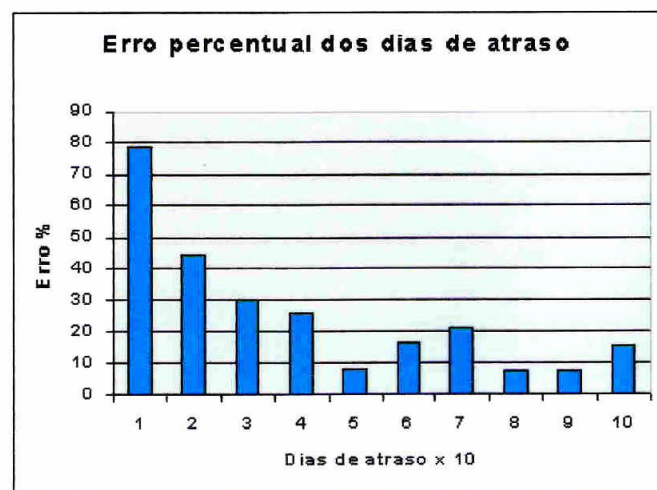
UF do cliente

log do valor da compra (R\$ 20 a 20.000)

log do valor médio das compras (R\$ 20 a 20.000)

MLP

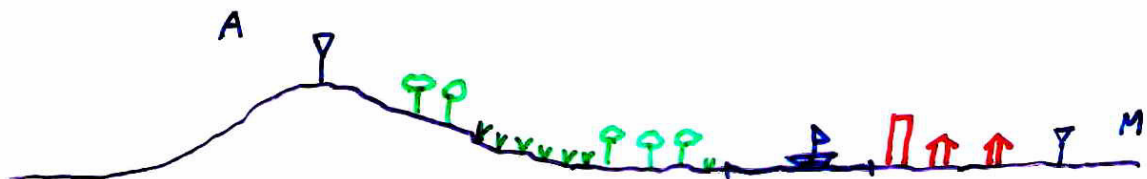
**8 neurônios tgh
1 neurônio linear**



Previsão de Temperaturas nas localidades

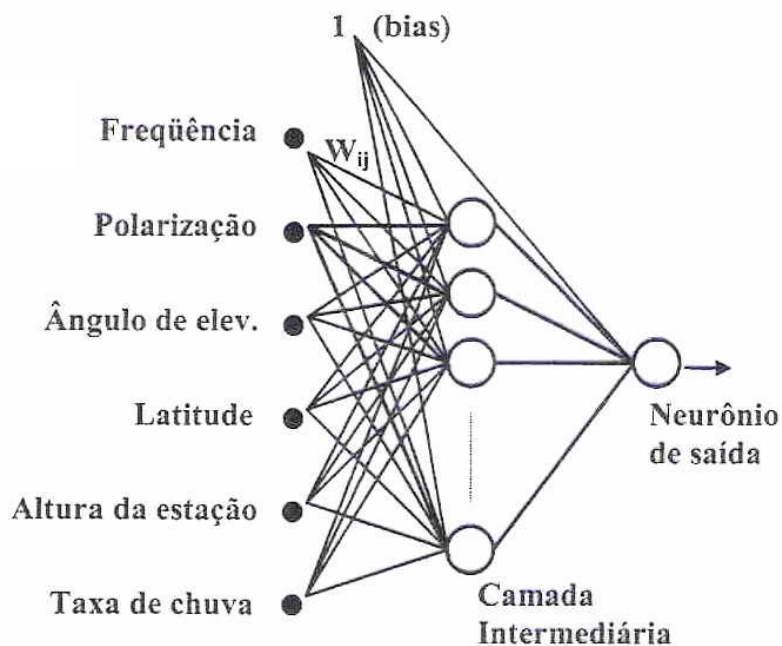
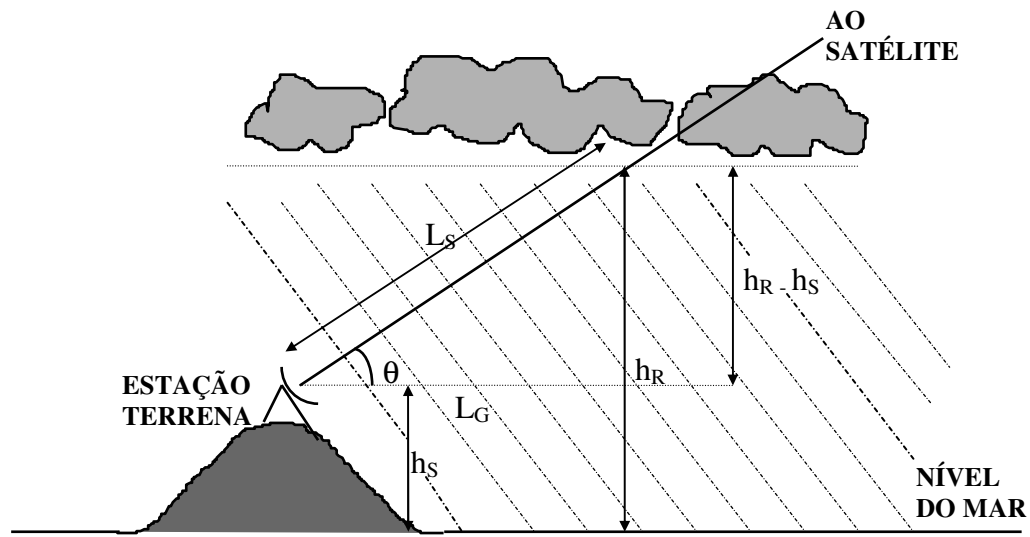
Entradas	Saídas
Latitude	Temperatura máxima anual
Longitude	Temperatura média anual
Altitude	Temperatura mínima anual

Atenuação de sinal em telefonia celular suburbana



$A = f [$ altura antena-móvel,
distância,
tipo terreno,
topografia,
tipo ocupação,
obstáculos,
etc.]

Atenuação de sinal em enlace terra-satélite



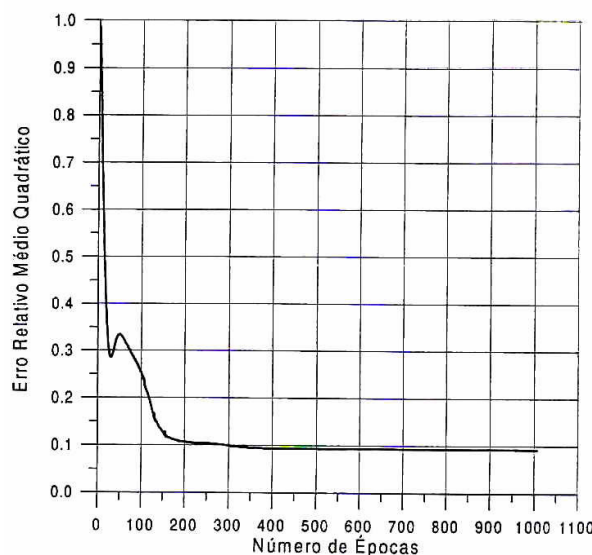
A = Atenuação excedida em .01% do ano médio

$$A = 20 \log_{10} \frac{s_0}{s_1}$$

$$F = E \left[\left(\frac{A - \tilde{A}}{A} \right)^2 \right] \Rightarrow \varepsilon_m^2 \quad \sigma$$

Pares e-s

268 >>> 153 >>> 109 treinamento
pares completos 44 teste



“overtraining prematuro”

Modelos	e_{rms} %	σ %	\sqrt{F} %
UIT-R	- 3.3 %	35 %	35.1 %
Rede 1	- 7.7 %	29 %	29.6 %

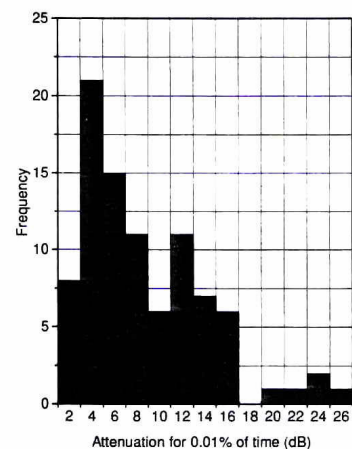
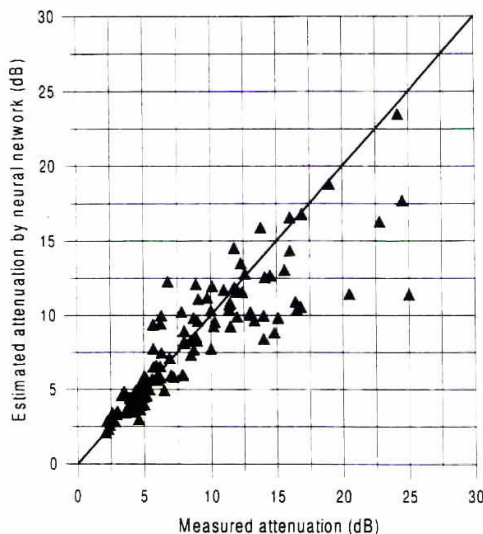
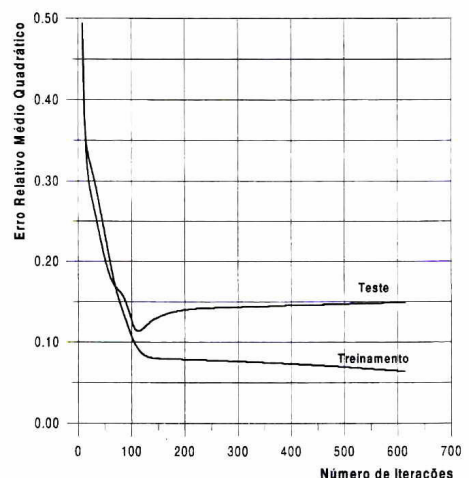
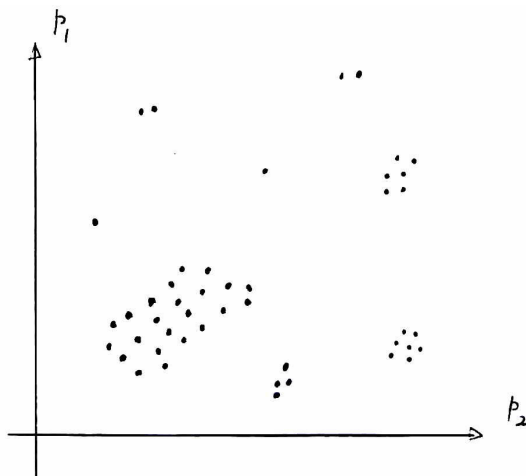
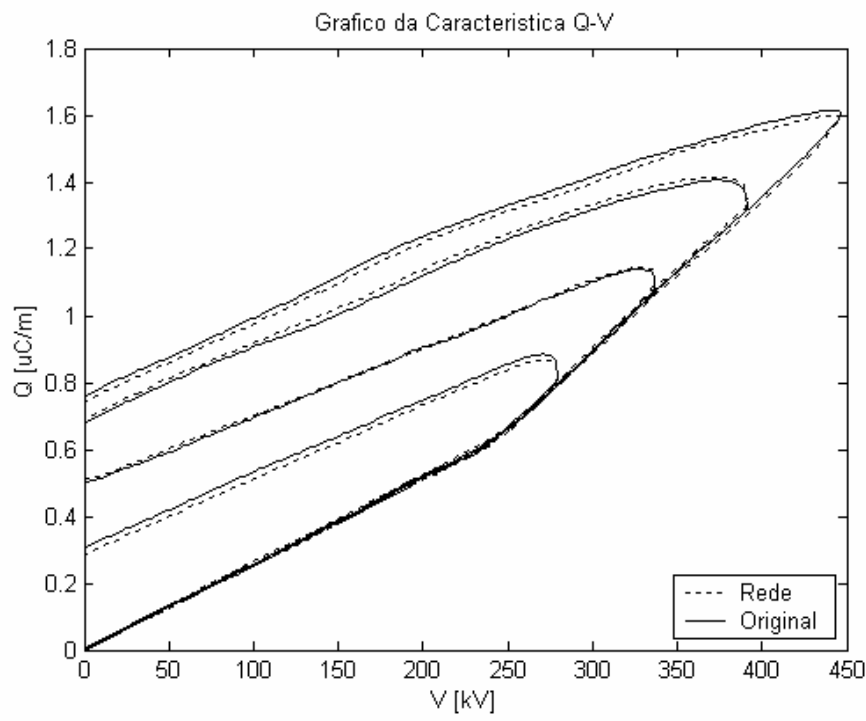
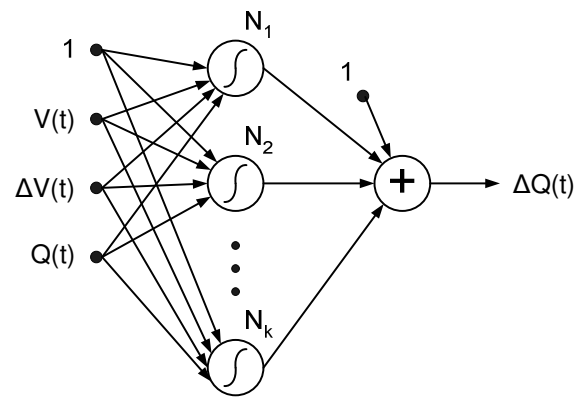
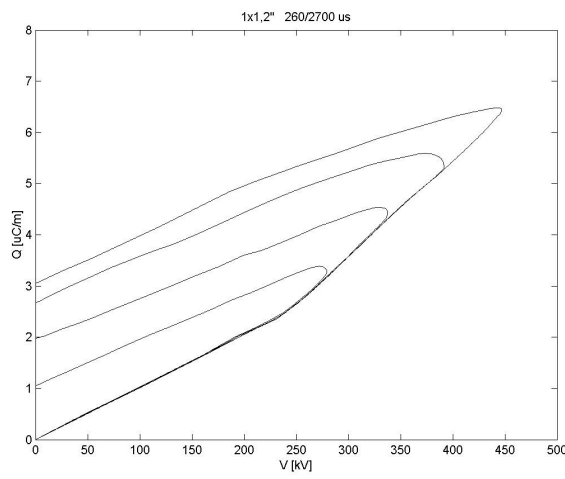


Figure 4: Distribution of rain attenuation in the training set.



Modelos	e_{rms} %	σ %	\sqrt{F} %
UIT-R	- 3.3 %	35 %	35.1 %
Rede 1	- 7.7 %	29 %	29.6 %
Rede 2			20 %

Modelagem do efeito corona



Poder de Parada de Íons por Gases

Cláudio C. B. Teles
CPE 721 - 2001

Projétil
Ag
Ar
Cl
Cu
Kr
Ne
O
Pb
S
U
Xe

Gás
Ar
C4H10
CF4
CH4
CO2
H2
He
Kr
N2
Ne
Xe

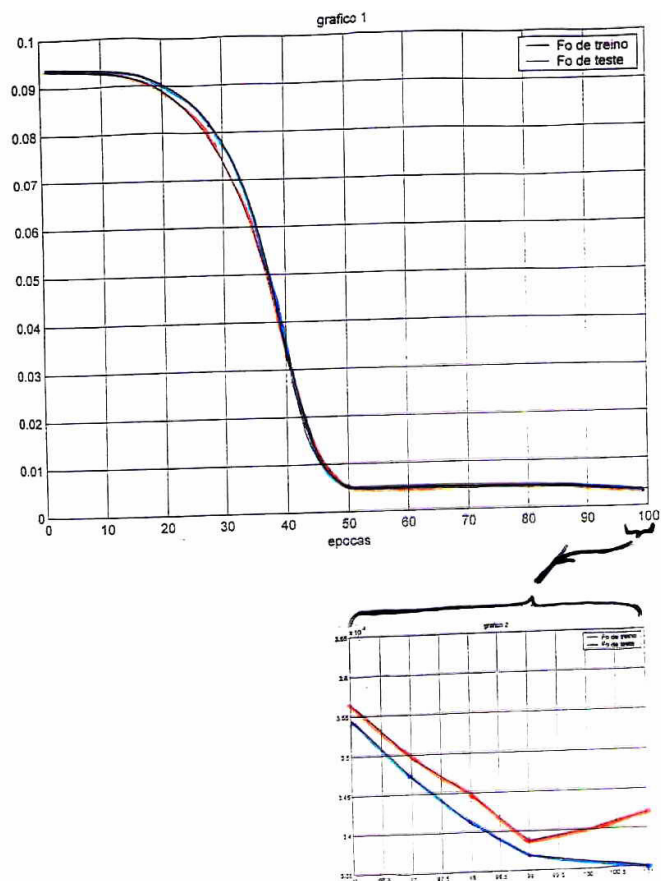
Entradas da Rede	Saída da rede:
Ep - energia do projétil	Ln (S) - log do "stoping power"
ln (Zp) - log do número atômico do projétil	
ln (Ap) - log do número de massa do projétil	
ln ($\sum Am$) - log do somatório dos números de massa dos componentes do meio (gás)	
$\sum Am$ / $\sum Zm$	

Rede Neural:

MLP, 5 entradas,
camada intermediária com 16 neurônios $tgh(.)$,
camada de saída com 1 neurônio linear

α variável, BP resiliente.

260 pares entrada-saída para treinamento, 86 para teste

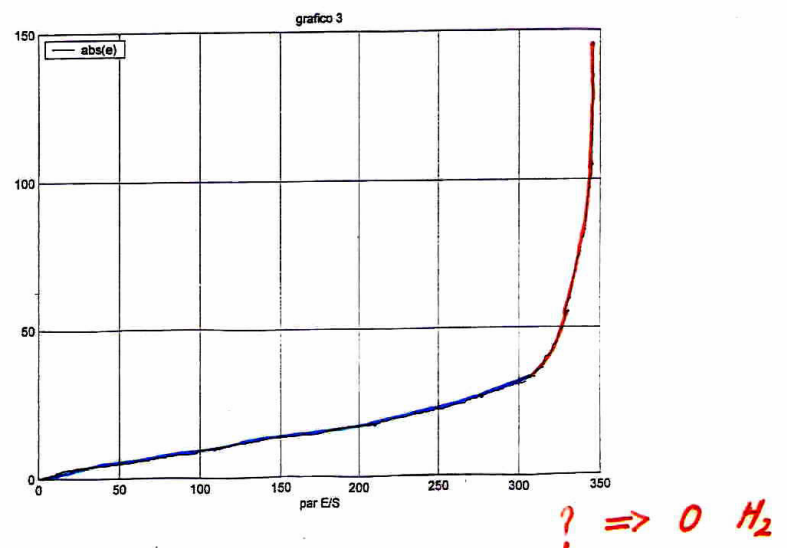


Resultados:

Total
(346 pares)

MAPE: 19.2 %

E_{\max} : 146 %



Examinando os pares com erros muito elevados:

Sem projétil **O** e sem alvo **H2**
(295 pares)

MAPE: 15.8 %

E_{\max} : 66 %